07

Переход классическое-квантовое диспропорционирование и магнитное упорядочение в никелатах RNiO₃

© А.С. Москвин ^{1,2}, Ю.Д. Панов ¹

¹ Уральский федеральный университет, Екатеринбург, Россия ² Институт физики металлов УрО РАН, Екатеринбург, Россия

E-mail: alexander.moskvin@urfu.ru

Поступила в Редакцию 6 марта 2025 г. В окончательной редакции 6 марта 2025 г. Принята к публикации 5 мая 2025 г.

Переход изолятор-квазиметалл (bad metal), наблюдаемый в ян-теллеровских (JT) магнетиках ортоникелатах RNiO₃ (R = редкая земля, или иттрий Y) считается каноническим примером моттовского перехода, традиционно описываемого в рамках U-t-модели Хаббарда. Однако реально диэлектрическая фаза никелатов представляет результат зарядового диспропорционирования (CD) с формированием системы спин-триплетных (S = 1) электронных [NiO₆]¹⁰ и бесспиновых (S = 0) дырочных [NiO₆]⁸ центров, эквивалентную системе эффективных спин-триплетных композитных бозонов, движущихся в немагнитной решетке. Эффективный гамильтониан CD-фазы включает учет локальных (U) и нелокальных (V) корреляций, переноса композитных бозонов (t_b). В рамках приближения эффективного поля нами показано существование двух типов CD-фаз — высокотемпературной классической парамагнитной CO-фазы зарядового упорядочения электронных и дырочных центров, и низкотемпературной магнитной квантовой CDq-фазы с переносом зарядовой и спиновой плотности между электронными и дырочными центрами, "неопределенной валентностью" [NiO₆]^{9±δ} (0 \leq δ \leq 1) и спиновой плотностью (1 \pm δ)/2 NiO₆-центров. В классической CO фазе спин-триплетные электронные центры окружены ближайшими немагнитными дырочными центрами, что "выключает" сильное сверхобменное взаимодействие ближайших соседей. Магнитное упорядочение в квантовой CDq-фазе определяется сильным традиционным сверхобменом и необычным механизмом бозонного лвойного обмена.

Ключевые слова: никелаты, диспропорционирование, композитные бозоны, бозонный двойной обмен.

DOI: 10.61011/FTT.2025.06.60963.27HH-25

1. Введение

Никелаты $RNiO_3$ (R = редкая земля или иттрий <math>Y) демонстрируют крайне необычные электрические и магнитные свойства, прежде всего это слабо выраженный переход первого рода металл-изолятор (МІТ), наблюдаемый в орторомбических $RNiO_3$ (R = Lu, ..., Pr) при охлаждении ниже $T_{\rm MIT}$ в диапазоне от 130 K для Pr до $\sim 550-600\,\mathrm{K}$ для тяжелых редких земель [1–3]. Эта электрическая особенность открывает широкие возможности для создания термочувствительных и резистивных переключателей и других устройств, включая нейронноспиновую логику и резистивную память с произвольным доступом [2]. На протяжении более трех десятилетий природа MIT в никелатах является своеобразным вызовом физике конденсированных сред. Традиционный подход к описанию фазового перехода с резким изменением величины и температурной зависимости сопротивления в никелатах предполагает реализацию спонтанного фазового перехода порядок-порядок "металлизолятор" из высокотемпературной фазы когерентной Ферми-жидкости в низкотемпературную диэлектрическую фазу с зарядовым упорядочением. Типичной теоретической моделью MIT является модель Хаббарда [4], в простейшем варианте описываемая гамильтонианом

$$\hat{H}_{Hub} = -t \sum_{\langle ij \rangle, \sigma} (\hat{c}_{i,\sigma}^{\dagger} \hat{c}_{j,\sigma} + h.c.) + \frac{U}{2} \sum_{i} \hat{n}_{i\sigma} \hat{n}_{i-\sigma}, \quad (1)$$

в котором учитывается одночастичная кинетическая энергия, определяемая эффективным интегралом переноса t и локальные корреляции, определяемые эффективным параметром U. Как правило, интегралы переноса находятся в рамках приближения сильной связи (tight-binding) с использованием расчетной схемы DFT (density functional theory), а U рассматривается как подгоночный параметр для d-электронов. При достаточно большой величине U в сравнении с шириной зоны $W \approx 2zt$ (z — число ближайших соседей), то есть при сильных корреляциях, возможен переход "металл-изолятор". Такой переход при определенной конечной величине U получил название перехода, контролируемого шириной зоны (bandwidth control (BC)-MIT) [4].

Несмотря на огромную популярность модели Хаббарда и традиционных зонных DFT-подходов к описанию перехода "металл-изолятор", предполагающих тот или иной учет локальных корреляций для некоторой

| d-центр | Ион | Кластер | Проекция псевдоспина | Спин | Орб. состояние |
|---------|------------------|-----------------|----------------------|---------|------------------------------|
| d^8 | Ni ²⁺ | $[NiO_6]^{10-}$ | M = -1 | S=1 | $t_{2g}^6 e_g^2; {}^3A_{2g}$ |
| d^7 | Ni ³⁺ | $[NiO_6]^{9-}$ | M = 0 | S = 1/2 | $t_{2g}^6 e_g^1; ^2 E_g$ |
| d^6 | Ni ⁴⁺ | $[NiO_6]^{8-}$ | M = +1 | S = 0 | t_{2g}^6 ; ${}^1A_{1g}$ |

Псевдоспиновая, спиновая и орбитальная структура трех зарядовых центров NiO₆ в ортоникелатах RNiO₃

"родительской" металлической ферми-жидкостной фазы, они не дают адекватного описания реальной ситуации в никелатах. Утверждения многих авторов, что ортоникелаты RNiO₃ являются идеальными кандидатами для изучения МІТ, контролируемого шириной зоны, на наш взгляд, ошибочны. Действительно, высокотемпературная проводящая "металлоподобная" фаза в ЯТ-магнетиках принципиально отличается от традиционных металлов — чрезвычайно низкая плотность носителей, большая эффективная масса носителей и малая диффузионная способность, малая DC проводимость с нетипичной температурной зависимостью, нарушение критерия Мотта-Иоффе-Регеля, некогерентный характер динамики носителей заряда, наблюдаемое изменение концентрации и знака носителей с изменением температуры, явные признаки прыжковой поляронной проводимости, температурно-зависимый парамагнетизм, обнаружение электронных/дырочных центров, типичных для низкотемпературной диспропорционированной фазы [4,6–16], что дало основание для общего термина "плохой" (bad) или странный (strange) металл. Явление проводимости таких квазиметаллов считается одной из центральных проблем в физике конденсированных сред.

В низкотемпературной диэлектрической фазе ортоникелаты демонстрируют более или менее четкие признаки зарядового и структурного диспропорционирования (charge and bond disproportionation) с двумя типами Ni центров, соответствующих чередующимся большим и малым NiO₆-октаэдрам, а также магнитный фазовый переход к неизвестной ранее для перовскитных 3d-соединений антиферромагнитной структуре, определяемой в орторомбических координатах вектором распространения $\mathbf{Q}_{AFM}=(1/2,0,1/2)$ [1,2].

Сегодня мало кто сомневается в том, что низкотемпературная диэлектрическая фаза никелатов является результатом зарядового диспропорционирования (CD), однако вопрос о структуре CD-фазы, ключевых взаимодействиях и эффективном гамильтониане остается открытым. В данной работе в рамках модели зарядовых триплетов и псевдоспинового $\Sigma=1$ формализма мы рассматриваем минимальную "зарядовую" модель ортоникелатов [17,18] и показываем, что учет локальных и нелокальных корреляций, а также двухчастичного переноса позволяет объяснить природу МІТ, структуру CD-фазы и известную фазовую T-R диаграмму ортоникелатов RNiO $_3$.

2. Модель зарядовых триплетов

Следуя замечательной идее Райса и Снеддона [19], развитой нами для двумерных купратов и других ЈТ-магнетиков [20–24], мы предлагаем обобщенную модель эффективных зарядовых триплетов для описания электронной структуры и фазовых диаграмм RNiO₃, которая предполагает рассмотрение некоторой высокосимметричной "родительской" конфигурации с идеальными октаэдрами NiO₆, низкоэнергетическое состояние которых образовано зарядовым триплетом $[NiO_6]^{10-,9-,8-}$ (номинально $Ni^{2+,3+,4+}$) с различными спиновыми и орбитальными основными состояниями. Мы связываем три зарядовых состояния кластера NiO₆ с тремя проекциями псевдоспина $\Sigma=1$ и используем известную спиновую алгебру и другие методы, хорошо зарекомендовавшие себя для спиновых магнетиков, для описания зарядовых степеней свободы никелатов в "координатном" представлении вместо традиционного для моделей на основе DFT k-представления. Псевдоспиновая, спиновая и орбитальная структура зарядовых NiO₆-центров в никелатах представлена в таблице. В простейшем приближении ниже мы пренебрегаем как возможным различием d-pструктуры одночастичных t_{2g} - и e_g -состояний для разных компонент зарядового триплета, так и вкладом неактивной полностью заполненной $t_{2\varrho}^6$ -оболочки с S=0 в различные спиновые и орбитальные взаимодействия.

Формально, локальный псевдоспин $\Sigma=1$ подразумевает восемь (три "дипольных" и пять "квадрупольных") независимых операторов и соответствующих параметров локального зарядового порядка. В неприводимых компонентах это

$$egin{aligned} \Sigma_0 &= \Sigma_z; \ \Sigma_\pm = \mp rac{1}{\sqrt{2}} \left(\Sigma_x \pm i \Sigma_y
ight); \ \Sigma_z^2; \ \Sigma_\pm^2; \ T_\pm &= rac{1}{2} \left\{ \Sigma_z, \Sigma_\pm
ight\}. \end{aligned}$$

Величина $n_{e_g}=1-\langle \hat{\Sigma}_z \rangle$ — локальное среднее число e_g -электронов, $\Delta n=\langle \hat{\Sigma}_z \rangle$ определяет отклонение от половинного заполнения. Операторы $P_0=(1-\Sigma_z^2);$ $P_\pm=\frac{1}{2}\Sigma_z^2(1\pm\Sigma_z)$ фактически являются проекционными операторами на зарядовые состояния с псевдоспиновой проекцией $M=0,\pm 1$ соответственно, а средние $\langle P_0 \rangle, \langle P_\pm \rangle$ фактически являются локальными плотностями для соответствующих зарядовых состояний.

Операторы Σ_{\pm} и T_{\pm} изменяют проекцию псевдоспина на ± 1 . Операторы Σ_{\pm}^2 изменяют псевдоспиновую

проекцию на ± 2 , поэтому их можно рассматривать как операторы рождения/уничтожения для эффективного композитного бозона. Соответствующие локальные средние $\langle \Sigma_{\pm} \rangle$, $\langle T_{\pm} \rangle$, $\langle \Sigma_{\pm}^2 \rangle$ будут описывать различные варианты "недиагонального" зарядового порядка, в частности, когерентные металлические и сверхпроводящие состояния.

Учитывая спиновые и орбитальные состояния для зарядовых компонент, мы должны расширить локальное гильбертово пространство до "псевдоспин-орбитально-спинового октета"

$$|\Sigma M; \Gamma \mu; Sm\rangle = |1M; \Gamma \mu; Sm\rangle,$$

 $(\Gamma=A_{1g},A_{2g},E_g$ — неприводимое представление локальной точечной группы), включающего спинорбитальный ЈТ квартет $|10;E_g\mu;\frac{1}{2}\nu\rangle$ с M=0 и спин-зарядовый квартет с $M=\pm 1$, включающий синглет $|1+1;A_{1g}0;00\rangle$ и триплет $|1-1;A_{2g}0;1m\rangle$, где $\mu=0,2,\ \nu=\pm\frac{1}{2},\ m=0,\pm 1$ ($|E_g0\rangle\propto d_{z^2};|E_g2\rangle\propto d_{x^2-y^2}$), и рассмотреть низко-энергетическую физику для никелатов, образованных системой таких октетов. Такой подход позволяет в самом общем виде учесть эффекты конкуренции различных степеней свободы.

3. Эффективный модельный гамильтониан никелата

Описание ортоникелата как системы псевдоспинорбитально-спиновых октетов является чрезвычайно сложной задачей. На практике мы вынуждены делать дополнительные упрощения, основываясь на существующих экспериментальных данных. В рамках минимальной модели мы сосредоточимся на рассмотрении только единственной актуальной зарядовой степени свободы, пренебрегая электрон-решеточным и сверхобменным взаимодействиями, а также эффектами вибронно-редуцированного одночастичного транспорта. В этом приближении локальная структура октетов будет сведена к четырехкратно вырожденному ЈТ уровню с M = 0, синглету с M = +1 и спиновому триплету с M = -1. Предположение о "неактивности" янтеллеровского квартета основано на отсутствии в никелатах как ниже, так и выше температуры МІТ-перехода, сколь-нибудь значительных следов ян-теллеровских искажений октаэдров NiO₆ и орбитального упорядочения [25], что неявно указывает на эффект "анти-янтеллеровского" диспропорционирования в основном состоянии никелатов [26]. Это обстоятельство позволяет пренебречь расщеплениями ян-теллеровских спинорбитальных квартетов с M = 0, то есть фактически пренебречь "ян-теллеровской физикой". С учетом всех приближений эффективный гамильтониан, описывающий актуальную зарядовую степень свободы, может быть представлен в виде суммы трех основных вкладов

$$\hat{H} = \hat{H}_{loc} + \hat{H}_{nloc} + \hat{H}_{tr}^{(2)}, \tag{2}$$

включающей потенциальную энергию локальных и нелокальных корреляций и энергию двухчастичного переноса — кинетическую энергию эффективных композитных бозонов. Эта минимальная модель может рассматриваться как некое "нулевое" приближение, учитывающее ведущую зарядовую степень свободы.

Эффективный гамильтониан системы невзаимодействующих центров ${
m NiO_6}$ включает только локальные корреляции

$$\hat{H}_{loc} = \frac{U}{2} \sum_{i} \hat{\Sigma}_{iz}^{2} \tag{3}$$

— аналог одноионной аксиальной спиновой анизотропии, описывающей эффекты "начального" псевдоспинового расщепления. Положительные значения параметра локальных корреляций U>0 стабилизируют спинорбитальный JT квартет $|10; E_g\mu; \frac{1}{2}\nu\rangle$, который представляет собой $[NiO_6]^{9-}$ -центры, соответствующие псевдоспиновой проекции M=0, тогда как отрицательные значения U < 0 стабилизируют диспропорционированную систему спин-зарядовых $[NiO_6]^{10-,8-}$ -центров, соответствующих псевдоспиновой проекции $M=\pm 1.$ В соответствии с экспериментальными данными о наблюдении JT-эффекта для хорошо изолированных ионов Ni³⁺ в $LaAlO_3$; Ni^{3+} [27,28] ниже мы выбираем положительный знак для параметра U в никелатах. Однако при положительном значении U диспропорционирование возможно только при достаточно большом значении экранированного кулоновского межцентрового взаимодействия, или нелокальных корреляций, описываемых эффективным гамильтонианом

$$\hat{H}_{nloc} = \frac{1}{2} V \sum_{i \neq j} \hat{\Sigma}_{iz} \hat{\Sigma}_{jz}, \tag{4}$$

— аналогом двухионной спиновой анизотропии, или изинговского обмена. Нелокальные корреляции являются движущей силой классического диспропорционирования ("site-centered" зарядовый порядок, или СО-фаза) с G-типом упорядочения спин-триплетных электронных и бесспиновых дырочных центров, что, при учете только nn-взаимодействий ближайших соседей, соответствует парамагнитной фазе.

Эффективный гамильтониан двухчастичного переноса

$$\hat{H}_{tr}^{(2)} = -\frac{1}{2} t_b \sum_{i \neq j} \left(\hat{\Sigma}_{i+}^2 \hat{\Sigma}_{j-}^2 + \hat{\Sigma}_{i-}^2 \hat{\Sigma}_{j+}^2 \right)$$
 (5)

эквивалентен гамильтониану переноса эффективных композитных двухэлектронных спин-триплетных бозонов с конфигурацией $e_{\rho}^{2,3}A_{2g}$ и интегралом переноса t_{b} .

Введя операторы рождения/уничтожения $\hat{B}_{\mu}^{\dagger}/\hat{B}_{\mu}$ для эффективного композитного бозона и выбрав спиновую компоненту $\mu=0,\pm 1,$ мы перепишем гамильтониан $\hat{H}_{rr}^{(2)}$ следующим образом

$$\hat{H}_{tr}^{(2)} = -t_b \sum_{i \neq j, \mu} \hat{B}_{i\mu}^{\dagger} \hat{B}_{j\mu}.$$
 (6)

В отличие от классических корреляционных вкладов (3) и (4) квантовый оператор переноса $\hat{H}_{tr}^{(2)}$ не сохраняет проекцию локального псевдоспина Σ_{iz} , то есть локального зарядового состояния. В приближении молекулярного поля этот оператор приводит к образованию локальных квантовых суперпозиций [17,18]

$$|\alpha\rangle = \cos\alpha |+1\rangle + \sin\alpha |-1\rangle,\tag{7}$$

где $\langle \Sigma_z \rangle = \cos 2\alpha = \delta$. Естественно, что квантовые суперпозиции (7) при $|\delta| < 1$ принципиально отличаются от классических состояний с соответствующей плотностью заряда. Так, при $\delta = 0$ мы имеем дело с локальной суперпозицией Ni^{2+} - и Ni^{4+} -центров, а не с Ni^{3+} -центром. Для различения классических и квантовых состояний с формально одинаковым значением δ мы можем использовать значение параметра локального порядка $\langle \Sigma_z^2 \rangle$, равное единице для любой суперпозиции (7) и равное нулю для Ni^{3+} -центра, соответствующего псевдоспиновой проекции $\mathrm{M}=0$.

Учет двухчастичного транспорта приводит к переносу зарядовой плотности со смешиванием локальных зарядовых состояний с проекциями псевдоспинов $M=\pm 1$, появлению неопределенности зарядового состояния кластеров NiO_6 со средним зарядом (валентностью) $[NiO_6]^{(9\pm\delta)-}$ $(Ni^{3\pm\delta})$ и образованию фазы квантового диспропорционирования CDq.

Перенос эффективного локального композитного спин-триплетного бозона соответствует переносу не только зарядовой, но и спиновой плотности с сохранением проекции обычного спина, но с появлением неопределенности значения локального спина, так что оператор $\hat{H}_{tr}^{(2)}$ по сути также является нетрадиционным спиновым оператором, или бозонным двойным обменом по аналогии с традиционным двойным обменом Зинера [29–31]. Однако эта спиновая зависимость нетривиальна. Гамильтониан, инициирующий транспорт, бесспиновый, что позволяет представить $\hat{H}_{tr}^{(2)}$ в полуклассическом приближении [30,32] как

$$\hat{H}_{tr}^{(2)} = -t_b \sum_{i \neq j} S_{ij} \hat{B}_i^{\dagger} \hat{B}_j, \tag{8}$$

где S_{ij} — интеграл перекрывания спиновых функций в общей системе координат, который в простейшем случае может быть выражен через угол θ_{ij} между спиновыми/магнитными моментами \mathbf{S}_i и \mathbf{S}_i [17]:

$$S_{ij} = \cos^2 \frac{\theta_{ij}}{2}. (9)$$

Фактор S_{ij} явно максимален для ферромагнитной ориентации магнитных моментов соседних узлов, что традиционно связывают с ферромагнитной природой двойного обмена и попытками ввести эффективный спиновый гамильтониан гейзенберговского типа. Однако гамильтониан переноса не позволяет разделить зарядовые и спиновые степени свободы. Появление квантовой неопределенности значения локального спина с локальной

спиновой плотностью в суперпозициях (7)

$$\rho_s = \sin^2 \alpha = \frac{1 \pm |\delta|}{2} \tag{10}$$

указывает на принципиальную невозможность связать оператор переноса с эффективным спиновым гамильтонианом, как это часто делается в теории традиционного ("одночастичного") двойного обмена Зинера [29–32].

Таким образом, в отличие от нелокальных корреляций, двухчастичный, или бозонный, перенос является движущей силой формирования квантовой ферромагнитной CDq -фазы со средними, но квантовомеханически неопределенными значениями заряда и спина для $\mathrm{NiO_6}$ -центров, описываемых квантовыми суперпозициями (7).

Возможно, наиболее интригующей особенностью квантового транспорта композитных спин-триплетных бозонов в фазе CDq является перспектива формирования уникальных фазовых состояний, таких как спин-триплетная сверхпроводимость или "суперсолид" (supersolid) [33]. В этой связи отметим недавнее обнаружение сверхпроводящих свойств в смешанновалентных никелатах La₃Ni₂O₇ [34].

4. Теория эффективного поля

Модель зарядовых триплетов и псевдоспиновый формализм указывают на возможность описания зарядовых состояний в никелатах, как впрочем и в других ЈТ-магнетиках, с использованием методов, хорошо известных в теории спиновых магнетиков, прежде всего, простой теории эффективного поля (ЕF) — обобщения теории среднего поля — которая является хорошей отправной точкой для физически ясного полуколичественного описания сильно коррелированных систем.

В приближении эффективного поля точно учитываются все локальные (одноцентровые) взаимодействия, а все межцентровые взаимодействия учитываются в рамках теории среднего (молекулярного) поля (MFA), типичного для описания "классических" сильнокоррелированных спин-магнитных систем.

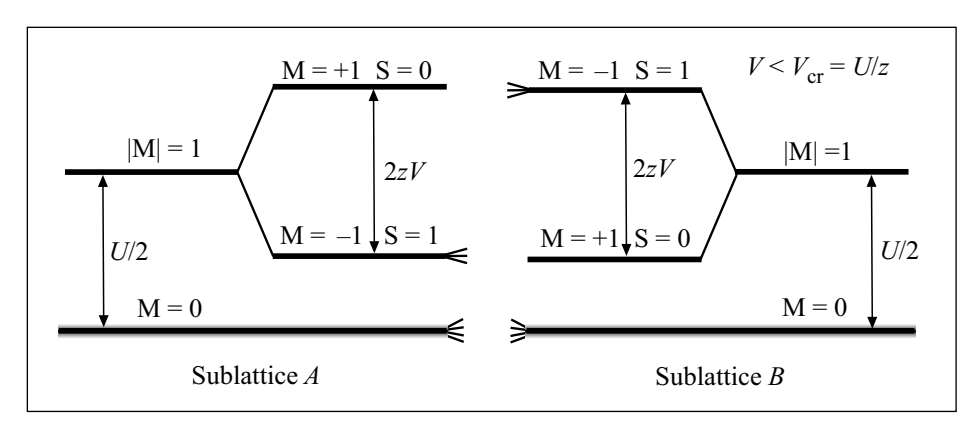
В предположения существования в СО-фазе ортоникелата двух взаимопроникающих подрешеток $(A \ u \ B)$ мы вводим два параметра зарядового порядка ферро- и антиферро-типа соответственно:

$$\Delta n = \frac{1}{2} \left(\langle \hat{\Sigma}_{zA} \rangle + \langle \hat{\Sigma}_{zB} \rangle \right)$$

 $(\Delta n$ — отклонение от половинного заполнения) и

$$l=rac{1}{2}\left(\langle\hat{\Sigma}_{zA}
angle-\langle\hat{\Sigma}_{zB}
angle
ight),$$

где $\langle \hat{\Sigma}_{zA,B} \rangle$ — параметры локального порядка $\langle \hat{\Sigma}_z \rangle$ для подрешеток A,B.



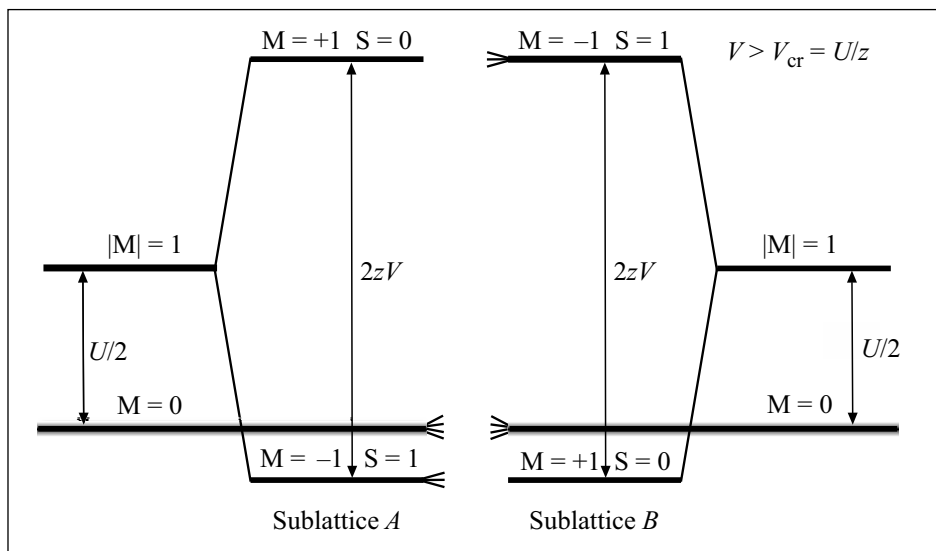


Рис. 1. Схема энергетического спектра октетов кластеров ${
m NiO_6}$ в двух подрешетках модельного ортоникелата в основном состоянии: верхняя панель $V < V_{
m cr}$, нижняя панель $V > V_{
m cr}$.

В приближении молекулярного поля для билинейного гамильтониана нелокальных зарядовых корреляций:

$$\begin{split} \frac{1}{2} \sum_{i \neq j} V_{ij} \hat{\Sigma}_{zi} \hat{\Sigma}_{zj} &\simeq \frac{1}{2} \sum_{i \neq j} 2 V_{ij} \hat{\Sigma}_{zi} \langle \hat{\Sigma}_{zj} \rangle - \frac{1}{2} \sum_{i \neq j} V_{ij} \langle \hat{\Sigma}_{zi} \rangle \langle \hat{\Sigma}_{zj} \rangle \\ &= - \sum_{i} h_{i} \hat{\Sigma}_{zi} - \frac{1}{2} \sum_{i \neq j} V_{ij} \langle \hat{\Sigma}_{zi} \rangle \langle \hat{\Sigma}_{zj} \rangle, \end{split}$$

 $\sum_{i} v(s) = 2 \sum_{i \neq j} v(s) v(s)$ (11)

где

$$h_i = -\sum_{i \neq i} V_{ij} \langle \hat{\Sigma}_{zj} \rangle \tag{12}$$

— молекулярное поле. Последний "неоператорный" член в (11), полностью зависящий от псевдоспиновых средних, тем не менее должен учитываться как в спектре октетов, так и в свободной энергии.

Эффективный гамильтониан может быть представлен как сумма одноцентровых вкладов

$$\mathcal{H}_0 = \sum_{c=1}^{N/2} \mathcal{H}_c, \, , \, \mathcal{H}_c = \mathcal{H}_A + \mathcal{H}_B, \tag{13}$$

ГД

$$\mathcal{H}_{\alpha} = \frac{U}{2} \, \hat{\Sigma}_{z\alpha}^2 - h_{\alpha} \hat{\Sigma}_{z\alpha},\tag{14}$$

$$\alpha = A, B,$$

$$h_{A,B} = -zV\langle \hat{\Sigma}_{zB,A} \rangle \tag{15}$$

— молекулярные поля в приближении ближайших соседей, z=6 — число ближайших соседей.

Интересно, что гамильтониан \mathcal{H}_{α} напоминает гамильтониан спинового S=1 центра с аксиальной одноионной анизотропией типа "легкая плоскость" во внешнем поле, направленном вдоль оси симметрии.

На рис. 1 представлен модельный энергетический спектр октетов Ni-центров в двух подрешетках модельного никелата в атомном пределе при U>0. Очевидно, что при $V< V_{\rm cr}=U/z$, где z — координационное число (= 6 для кубического перовскита) основное состояние Ni-центров соответствует ЈТ квартету (см. верхнюю панель), а при $V>V_{\rm cr}$ основное состояние Ni-центров соответствует классической "диспропорционированной" конфигурации СО с электронным(дырочным) центрами в A(B) подрешетке (см. нижнюю панель). Спектр на

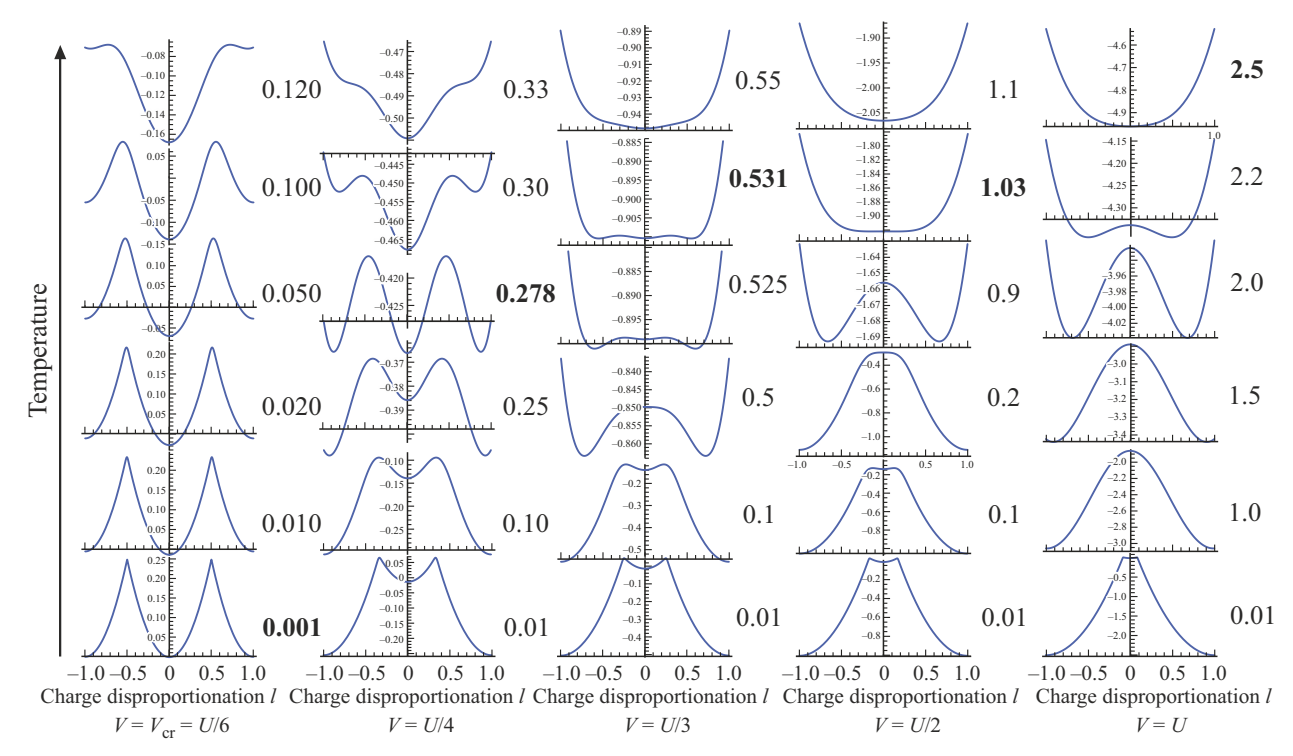


Рис. 2. Зависимость свободной энергии модельного никелата (в расчете на один узел) от параметра порядка l при различных температурах и различных соотношениях между параметрами локальных и нелокальных корреляций.

рис. 1 позволяет найти энергии одночастичного и двухчастичного оптических переходов с переносом заряда в СО фазе никелатов ($\Delta_1 = zV - U$ и $\Delta_2 = 4zV$ соответственно) и оценить параметры локальной и нелокальной корреляции. К сожалению, имеющиеся оптические данные для никелатов [35] крайне скудны.

Функция распределения октета имеет вид

$$Z_c = \operatorname{Tr}\left(e^{-eta\mathscr{H}_c}
ight) = \operatorname{Tr}\left(e^{-eta\mathscr{H}_A}
ight) \operatorname{Tr}\left(e^{-eta\mathscr{H}_B}
ight) = Z_A Z_B,$$

где
$$\beta = 1/k_B T$$
,

$$Z_{A,B} = 4 + e^{-\frac{1}{2}\beta U} (3e^{-\beta h_{A,B}} + e^{\beta h_{A,B}})$$
 (16)

Свободная энергия в расчете на один центр принимает вид

$$f = -\frac{1}{2\beta} (\ln Z_A + \ln Z_B) - \frac{1}{2} z V (\Delta n^2 - l^2).$$
 (17)

Минимизируя свободную энергию можно получить уравнения для определения величин параметров порядка.

5. Переход CO-NO в модельном никелате: атомный предел

Для иллюстрации рассмотрим простейший атомный предел минимальной модели никелата, в котором переход СО-NO изолятор-металл и фазовая диаграмма будут определяться всего лишь единственным параметром —

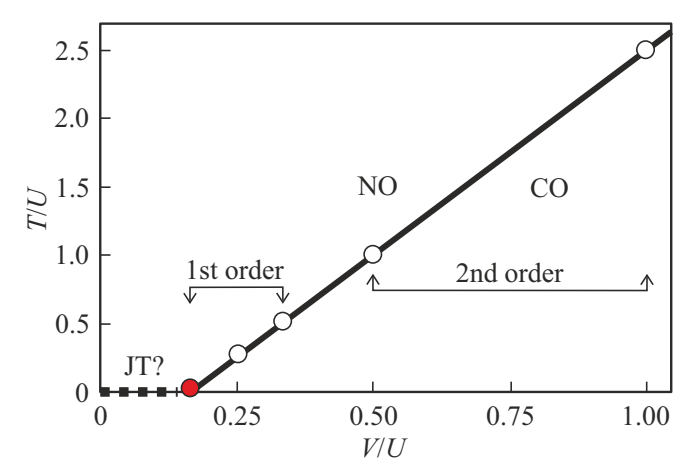


Рис. 3. Зависимость температуры перехода CO-NO от параметра нелокальных корреляций в атомном пределе модели (T-V-фазовая диаграмма).

 неупорядоченную NO-фазу, которую мы связываем с квази-металлической фазой.

Переход CO-NO реализуется $V>V_{
m cr}=rac{1}{z}\,U=rac{1}{6}\,U,$ так что при $V=V_{
m cr}$ и T=0 свободные энергии фаз СО и NO совпадают, температура перехода обращается в нуль, $T_{\rm CO} = 0$. При $V < V_{\rm cr}$ может быть реализовано кооперативное JT упорядочение. При $V > V_{\rm cr}$ температура перехода CO-NO растет почти линейно с увеличением параметра V. Анализ зависимости f(l) показывает, что при $V_{\rm cr} < V \leq \frac{1}{3} \, U$ она характерна для фазовых переходов первого рода, а при $V \ge \frac{1}{2} U$ — для фазовых переходов второго рода. В промежуточной области $\frac{1}{3}U < V < \frac{1}{2}U$ наблюдаются особенности, характерные как для фазовых переходов второго, так и первого рода. Высокотемпературная NO-фаза стабильна во всем температурном диапазоне вплоть до самых низких температур. В то же время низкотемпературная диэлектрическая СО-фаза стабильной становится значительно выше критической температуры $T_{\rm CO}$, то есть максимальной температуры, при которой свободные энергии фаз NO и CO совпадают.

Особенности сосуществования неупорядоченной NO и упорядоченной CO фаз указывают на фазовое расслоение как типичное состояние модельного ортоникелата, что автоматически объясняет уникальную чувствительность ортоникелатов к нестехиометрии, форме образца (bulk/film), реальному и химическому давлению, изотопическому замещению [6].

Удивительно, но рассматриваемая нами простая чисто электронная U-V модель позволяет описать ряд фундаментальных особенностей спонтанного перехода изолятор-квазиметалл, ассоциируемого нами с переходом СО-NO "плавления" диэлектрической фазы СО в ортоникелатах. Так, "первородный" характер перехода легко объясняется в предположении относительно небольших значений параметра нелокальных корреляций $\frac{1}{6}U \le V \le \frac{1}{3}U$. Универсальный характер фазового расслоения в никелатах [36-39], типичный для сильнокоррелированных систем [40], естественно связывается с широкой температурной областью сосуществования "квазиметаллической" NO-фазы и диэлектрической СО-фазы. Характер изменения температуры перехода в ряду редкоземельных ортоникелатов легко связать с изменением параметра нелокальных корреляций. Действительно, увеличение угда сверхобменной связи Ni-O-Ni и соответствующее увеличение расстояния Ni-Ni в ряду LuNiO₃-LaNiO₃ приводит к уменьшению параметра нелокальной корреляции V и, в соответствии с предсказаниями чисто электронной модели, к понижению температуры перехода изолятор-металл, что и наблюдается экспериментально (см., например, [1–3,41]). Не исключено, что в LaNiO₃ (LNO) величина параметра нелокальных корреляций становится близкой к критической, так что основное состояние в этом никелате может представлять собой результат фазового расслоения — квазиметаллическую неупорядоченную NO-фазу сосуществующую с СО-фазой. Действительно, данные нейтрон-дифракции показывают, что при приближении к 0 K, кристаллическая симметрия LNO становится двухподрешеточной и локально моноклинной [42]. Это говорит о том, что, несмотря на металличность, система очень близка к диэлектрическому состоянию с зарядовым диспропорционированием и моноклинной глобальной структурой. В целом это объясняет ряд аномальных свойств LNO, в частности, наблюдение как сильного парамагнетизма, так и антиферромагнитных корреляций [42–45]. Авторы работы [46] предположили, что LNO является квантово-критическим металлом, близким к антиферромагнитной квантовой критической точке (QCP). Более того, согласно данным работы [44] в монокристаллах LaNiO₃ обнаружено довольно редкое для оксидов переходных металлов сочетание металлических свойств и антиферромагнитного упорядочения с относительно высокой температурой Нееля: $T_N = 157 \, \mathrm{K}$ и $\mathbf{Q}_{AFM} = (1/2, 0, 1/2)$, типичным для всего ряда ортоникелатов.

Минимальная модель спонтанного NO-CO-перехода, то есть модель формирования дальнего СО-упорядочения при понижении температуры предполагает формирование ближнего порядка, фактически электроннодырочных (ЕН) центров, при температурах, существенно превышающих $T_{\rm CO}$. Эти ЕН-центры, относительно устойчивые благодаря сильному электрон-решеточному взаимодействию, образуют своеобразные биполяроны, являющиеся "зародышами" низкотемпературной диспропорционированной СО-фазы. Таким образом, эволюция NO-фазы в нашей модели включает несколько стадий от полностью разупорядоченной системы "октетов" со смешанной валентностью NiO₆-центров типа Дебая-Хюккеля и сильно экранированными кулоновскими взаимодействиями, до невырожденного "биполяронного газа", "биполяронной жидкости" и, наконец, ее конденсации в упорядоченную диспропорционированную СОфазу при $T = T_{CO}$. Именно этот сценарий, предложенный Н.Ф. Моттом много лет назад для высокотемпературной квазиметаллической фазы в VO₂ [5], подтверждается в многочисленных экспериментах для ортоникелатов, прежде всего данными [14,16].

В заключении раздела снова отметим аналогию модельного гамильтониана локальных и нелокальных корреляций с гамильтонианом изинговского антиферромагнетика со спином S=1 с сильной одноосной одноионной анизотропией типа "легкая плоскость" во внешнем поле, направленном вдоль оси симметрии.

6. Учет двухчастичного переноса и формирование фазы CDq квантового диспропорционирования

Основной отличительной особенностью атомного предела является полная определенность локального заря-

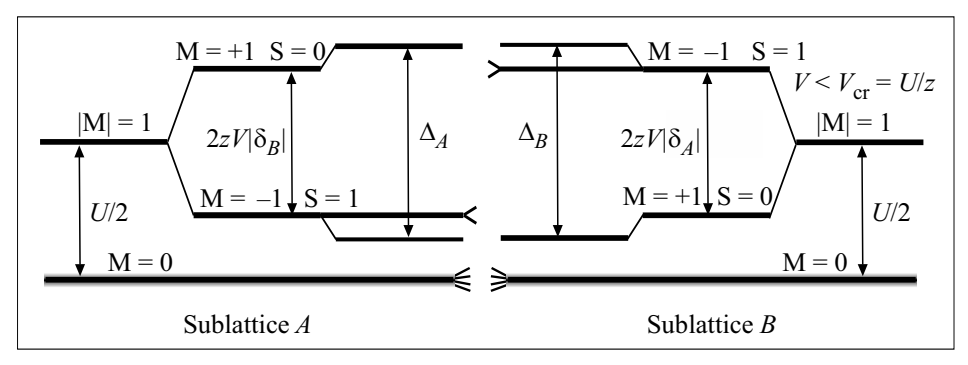


Рис. 4. Схема энергетического спектра октетов кластеров NiO_6 в двух подрешетках модельного ортоникелата в основном состоянии с учетом эффекта парного переноса при $V < V_{cr}$.

дового состояния кластеров ${\rm NiO_6}$, или проекции псевдоспина Σ_z . При этом основное состояние двухподрешеточной модели при $V>V_{\rm cr}$ напоминает неелевское состояние спинового антиферромагнетика G-типа и формируется системой центров $[{\rm NiO_6}]^{10-}$ ($\langle \Sigma_z \rangle = -1 \rangle$) в одной подрешетке и центров $[{\rm NiO_6}]^{8-}$ ($\langle \Sigma_z \rangle = +1 \rangle$) в другой подрешетке со спином S=1 и S=0 соответственно. Однако эти выводы не согласуются с данными магнитной нейтронографии [17–19], свидетельствующими о перераспределении спиновой, а значит и зарядовой плотности между подрешетками с формированием локальных зарядовых состояний со смешанной валентностью типа $[{\rm NiO_6}]^{(9-\delta)-}$, или упрощенно ${\rm Ni}^{3-\delta}$ ($-1 \le \delta \le +1$), представляющих локальные квантовые суперпозиции (7).

В отличии от атомного предела с фактически классическим эффектом нелокальных межцентровых корреляций введение молекулярного поля для описания квантового эффекта переноса заряда (квантового туннелирования) кажется более грубым приближением, но, как мы надеемся, не лишенным потенциала качественных и полуколичественных предсказаний. В рамках MFA представим гамильтониан $\hat{H}_{tr}^{(2)}$ переноса с некоторой фиксированной компонентой традиционного спина как

$$\hat{H}_{tr}^{(2)} = -\sum_{i \neq j} t_{ij}^b \left(\hat{\Sigma}_{i+}^2 \langle \hat{\Sigma}_{j-}^2 \rangle + \hat{\Sigma}_{i-}^2 \langle \hat{\Sigma}_{j+}^2 \rangle \right)$$

$$+ \frac{1}{2} \sum_{i \neq j} t_{ij}^b \left(\langle \hat{\Sigma}_{i+}^2 \rangle \langle \hat{\Sigma}_{j-}^2 \rangle + \langle \hat{\Sigma}_{i-}^2 \rangle \langle \hat{\Sigma}_{j+}^2 \rangle \right), \quad (18)$$

где для квантовомеханических средних

$$\langle \hat{\Sigma}_{i\pm}^2 \rangle = \langle \alpha | \hat{\Sigma}_{i\pm}^2 | \alpha \rangle = \frac{1}{2} \sin 2\alpha = \frac{1}{2} \sqrt{(1 - \delta^2)}.$$
 (19)

В соответствии с теорией эффективного поля для двухподрешеточной модели операторную часть гамильтониана (18) включаем в гамильтониан \mathcal{H}_{α} (14), что приводит к модификации энергетического спектра октетов из двух подрешеток, представленного на рис. 4, где

$$\Delta_{A,B} = 2z \sqrt{V^2 \delta_{B,A}^2 + t_b^2 (1 - \delta_{B,A}^2)}$$

$$= 2z \sqrt{V^2 \cos^2(2\alpha_{B,A}) + t_b^2 \sin^2(2\alpha_{B,A})}, \qquad (20)$$

а t_b — интеграл переноса для ближайших соседей.

Для функций распределения $Z_{A,B}$ октетов в подрешетках получаем

$$Z_{A,B} = 4 + e^{-\frac{1}{2}\beta U} \left(2e^{-\beta h_{A,B}} + 2\cosh\frac{\Delta_{A,B}}{2} \right)$$
 (21)

Свободная энергия в расчете на один центр принимает вил

$$f = -\frac{1}{2\beta} \left(\ln Z_A + \ln Z_B \right) + \frac{1}{2} zV l^2 + \frac{1}{4} zt (1 - l^2). \quad (22)$$

Включение наряду с локальными и нелокальными корреляциями квантового эффекта переноса композитного бозона $\hat{H}_{tr}^{(2)}$ (*U-V-t_b*-модель) приводит к фундаментальной перестройке как основного состояния, фазовых переходов, так и температурной фазовой диаграммы никелатов. При достаточно малых значениях интеграла переноса t_b по сравнению с параметром V температурный диапазон существования фазы CDq оказывается малым, так что небольшое повышение температуры приводит к фазовому переходу CDq-CO в классическую диспропорционированную фазу с последующим переходом СО-NO в квази-металлическую фазу NO. Однако конкуренция потенциальной и кинетической энергии эффективных композитных бозонов, то есть нелокальных корреляций и двухчастичного переноса, приводит к неожиданному эффекту. С ростом значения интеграла переноса бозонов температура $T_{\rm CDq}$ перехода CDq-CO сначала медленно растет, будучи близкой к нулю, а затем при некотором критическом значении t_h^s начинает резко расти, в то время как температура $T_{\rm CO}$ перехода CO-NO в квази-металлическую фазу, т.е. температура перехода изолятор-металл, сначала медленно растет, достигает максимума, затем при $t_b \approx t_b^s$ начинает резко падать, и при некотором критическом значении t_h^* температуры

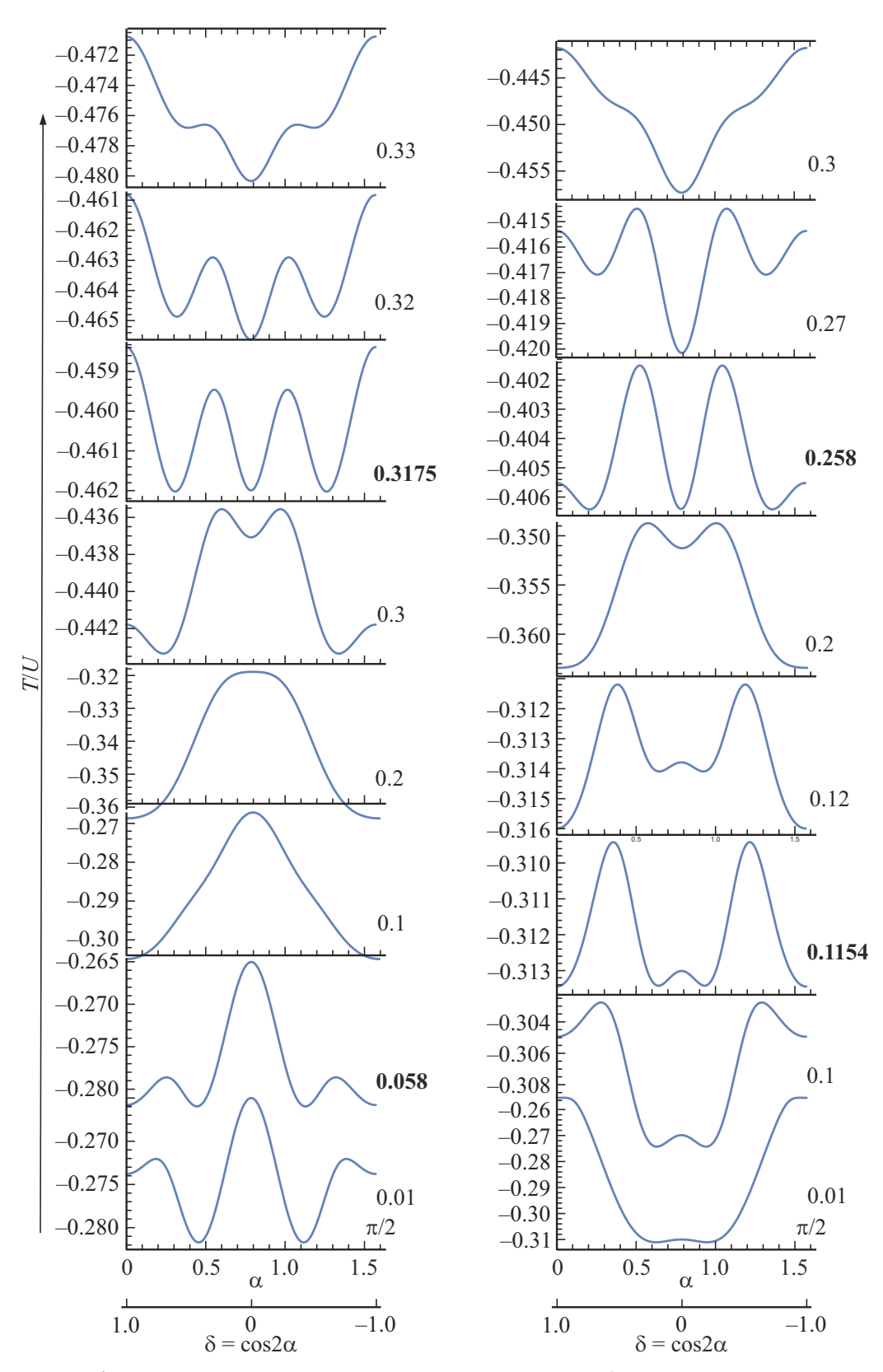


Рис. 5. Зависимость свободной энергии модельного никелата от параметра порядка l при различных температурах при V=0.25U, $t_b=0.17U$ (слева) и $t_b=0.1U$ (справа). Жирным отмечены температуры переходов CDq-CO и CO-NO соответственно.

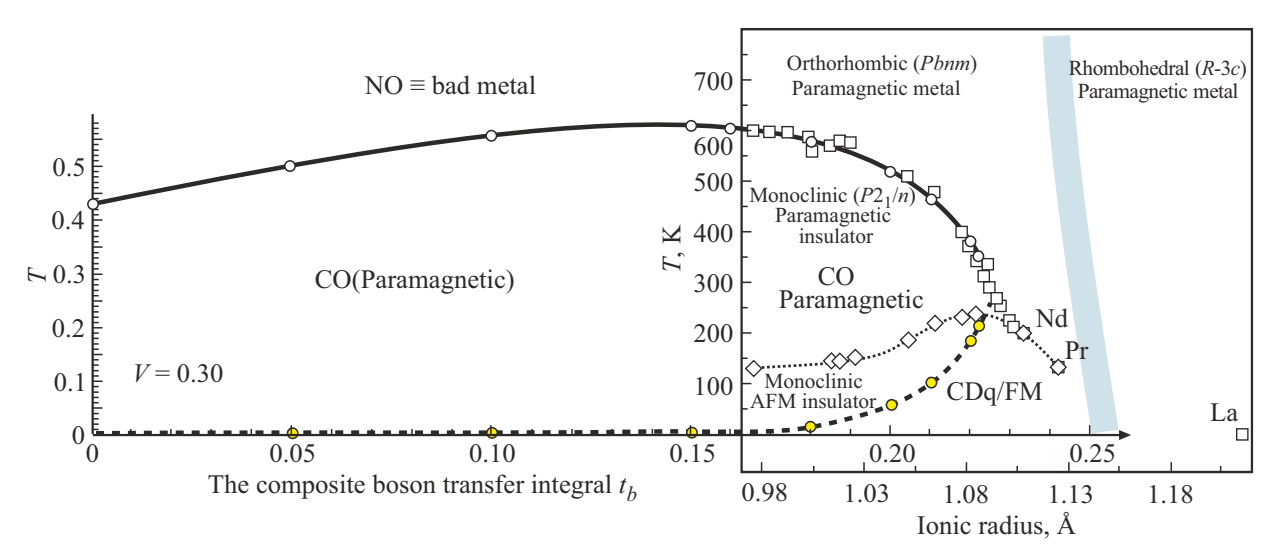


Рис. 6. Модельная T- t_b -фазовая диаграмма для никелатов. Зависимость критических температур переходов CDq-CO (заполненные кружки и жирная пунктирная линия) и CO-NO (пустые кружки и сплошная жирная линия) от величины интеграла переноса композитного бозона t_b и сравнение с экспериментальными данными по T_{MIT} (квадраты) и T_{N} (ромбы и пунктирная линия) с указанием кристаллической, электронной и магнитной структуры для различных ортоникелатов RNiO $_3$ [3]. Кривые проведены на глаз, T, V и t_b указаны в единицах U.

 $T_{\rm CO}$ и $T_{\rm CDq}$ становятся равными, а при $t_b > t_b^*$ выживает только фаза CDq. Параметр $|\delta|$, определяющий локальные квантовые суперпозиции (7), слабо растет с увеличением t_b на широком интервале, оставаясь близким к 1, а затем при $t_b \sim t_b^s$ начинает резко падать, обращаясь в ноль при $t_b \sim t_b^*$.

Все эти особенности хорошо иллюстрирует рис. 6, где представлена фазовая T- t_b диаграмма при V=0.30U, соответствующем области слабо выраженных переходов первого порядка СО-NO. При простейшем предположении о линейной зависимости интеграла t_b от ионного радиуса R-ионов в диапазоне его реальных значений для ортоникелатов зависимость $T(t_b)$ прекрасно воспроизводит R-зависимость температур переходов парамагнитный изолятор — квази-металл для ортоникелатов RNiO₃ с $T_{\rm MIT} \neq T_{\rm N} \; ({
m R} = {
m Lu}, \ldots, {
m Sm}) \; [3] \;$ при $U \approx 1000 \, {
m K}, \;$ что немедленно приводит к $V \approx 300 \, \mathrm{K}$. В этом случае значение интеграла переноса бозонов меняется с $t_b \approx 165 \, \mathrm{K}$, соответствующего LuNiO₃, на $t_b = t_b^* \approx 225 \,\mathrm{K}$, примерно соответствующее SmNiO₃, что находится в хорошем качественном и количественном согласии с теоретическими предсказаниями [18].

При $t_b > t_b^*$ наша модель, в согласии с экспериментом, указывает на фундаментальное изменение характера МІТ от NO — классическая парамагнитная СОфаза к NO — квантовая магнитная СDq-фаза. Однако наблюдаемая сложная неколлинеарная антиферромагнитная структура $\mathbf{Q}_{AFM} = (1/2, 0, 1/2) \ [1,2]$ в этой фазе и необычная зависимость $T_{\text{МІТ}}(\mathbf{R}) = T_{\text{N}}(\mathbf{R})$ для $\mathbf{R} = \text{Nd}$, Pr и близких составов указывают на ограниченность минимальной чисто зарядовой модели и необходимость учета весьма необычной конкуренции ферромагнитного бозонного двойного обмена и антиферромагнитного

сверхобмена, то есть перехода к U-V- t_b -J-модели. Более реалистичная модель должна также учитывать заметное уменьшение значения параметра нелокальных корреляций V в ряду $LuNiO_3$ — $LaNiO_3$.

7. Заключение

Мы представили новый чисто электронный сценарий перехода изолятор — квази-металл в никелатах $RNiO_3$, основанный на минимальной $U-V-t_b$ -модели, учитывающей единственную зарядовую степень свободы в рамках модели зарядовых триплетов, псевдоспинового формализма и теории эффективного поля, что обеспечивает физически ясное и математически тривиальное описание, характерное для традиционных спин-магнитных систем. Несмотря на простоту модели, она воспроизводит основные особенности Т-R-фазовой диаграммы для RNiO₃ при физически обоснованных оценках параметров U-V- t_b -модели. Высокотемпературная квази-металлическая фаза связана с неупорядоченной смешанно-валентной NO-фазой системы зарядовых триплетов, а диэлектрическая диспропорционированная СD-фаза включает низкотемпературную квантовую ферромагнитную СDq-фазу и высокотемпературную классическую парамагнитную (в модели ближайших соседей!) СО-фазу, разделенных фазовым переходом CDq-CO (R = Lu, ..., Sm), или только магнитную CDqфазу (R = Nd, Pr). Для детального описания квантовой СDq-фазы необходимо выйти за рамки чисто зарядовой модели, учитывая необычную конкуренцию ферромагнитного бозонного двойного обмена и антиферромагнитного сверхобмена Ni^{2+} - O^{2-} - Ni^{2+} . Развитый нами псевдоспиновый формализм позволяет эффективно учесть электронно-решеточное взаимодействие, прежде всего важнейший вклад так называемой "дыхательной" моды локальных искажений центров NiO₆ и биполяронные эффекты, а также другие проявления важной роли электрон-решеточной связи, экспериментально наблюдаемые в никелатах [2].

Финансирование работы

Исследование выполнено при поддержке Министерства науки и высшего образования $P\Phi$ в рамках проекта FEUZ-2023-0017.

Конфликт интересов

Авторы заявляют, что у них нет конфликта интересов.

Список литературы

- [1] M.L. Medarde. J. Phys.: Condens. Matter 9, 1679 (1997).
- [2] S. Catalano, M. Gibert, J. Fowlie, J. Iniguez, J.-M. Triscone, J. Kreisel. Rep. Prog. Phys. 81, 046501 (2018).
- [3] D.J. Gawryluk, Y.M. Klein, T. Shang, D. Sheptyakov, L. Keller, N. Casati, Ph. Lacorre, M.T. Fernandez-Diaz, J. Rodriguez-Carvajal, M. Medarde. Phys. Rev. B 100, 205137 (2019).
- [4] M. Imada, A. Fujimori, Y. Tokura. Rev. Mod. Phys. 70, 1039 (1998).
- [5] N.F. Mott. Rev. Mod. Phys. 40, 677 (1968).
- [6] M. Medarde, P. Lacorre, K. Conder, F. Fauth, A. Furrer. Phys. Rev. Lett. 80, 2397 (1998).
- [7] J.-S. Zhou, J.B. Goodenough, B. Dabrowski. Phys. Rev. Lett. 94, 226602 (2005).
- [8] M. Tyunina, M. Savinov, O. Pacherova, A. Dejneka. Sci Rep 13, 12493 (2023).
- [9] R. Jaramillo, S. Ha, D. Silevitch, S. Ramanathan. Nature Phys 10, 304 (2014).
- [10] S.D. Ha, R. Jaramillo, D.M. Silevitch, F. Schoofs, K. Kerman, J.D. Baniecki, S. Ramanathan. Phys. Rev. B 87, 125150 (2013).
- [11] A.J. Hauser, E. Mikheev, N.E. Moreno, T.A. Cain, J. Hwang, J.Y. Zhang, S. Stemmer. Appl. Phys. Lett. 103, 182105 (2013).
- [12] S.K. Ojha, S. Ray, T. Das, S. Middey, S. Sarkar, P. Mahadevan, Z. Wang, Y. Zhu, X. Liu, M. Kareev, J. Chakhalian. Phys. Rev. B 99, 235153 (2019).
- [13] A. Stupakov, T. Kocourek, O. Pacherova, G. Suchaneck, A. Dejneka, M. Tyunina. Appl. Phys. Lett. 124, 102103 (2024).
- [14] J.L. Garcia-Munoz, R. Mortimer, A. Llobet, J.A. Alonso, M.J. Martinez-Lope, S.P. Cottrell. Physica B Condensed Matter 374, 87 (2006).
- [15] C. Piamonteze, H.C.N. Tolentino, A.Y. Ramos, N.E. Massa, J.A. Alonso, M.J. Marti nez-Lope, M.T. Casais. Phys. Rev. B 71, 012104 (2005).
- [16] J. Shamblin, M. Heres, H. Zhou, J. Sangoro, M. Lang, J. Neuefeind, J.A. Alonso, S. Johnston. Nat Commun. 9, 86 (2018).
- [17] А.С. Москвин. ЖЭТФ 167, 3, 412 (2025).
- [18] А.С. Москвин. Письма в ЖЭТФ 121, 6, 431 (2025).
- [19] T.M. Rice, L. Sneddon. Phys. Rev. Lett. 47, 689 (1981).
- [20] A.S. Moskvin. J. Phys.: Condens. Matter, 25, 085601 (2013).
- [21] A. Moskvin. Magnetochemistry, 9, 224 (2023).
- [22] A.S. Moskvin. Phys. Rev. B 84, 075116 (2011).
- [23] A. Moskvin, Y. Panov. Condens. Matter, 6, 24 (2021).

- [24] A.S. Moskvin, Yu.D. Panov. JMMM 550, 169004 (2022).
- [25] V. Scagnoli, U. Staub, A.M. Mulders, M. Janousch, G.I. Meijer, G. Hammerl, J.M. Tonnerre, N. Stojic. Phys. Rev. B 73, 100409(R) (2006).
- [26] I.I. Mazin, D.I. Khomskii, R. Lengsdor, J.A. Alonso, W.G. Marshall, R.M. Ibberson, A. Podlesnyak, M.J. Martinez-Lope, M.M. Abd-Elmeguid. Phys. Rev. Lett. 98, 176406 (2007).
- [27] Т.А. Иванова, В.Е. Петрашень, Н.В. Чежина, Ю.В. Яблоков. ФТТ 44, 1407 (2002) [Т. Ivanova, V. Petrashen, N. Chezhina, Y. Yablokov. Phys. Solid State 44, 1468 (2002)].
- [28] M.N. Sanz-Ortiz, F.O. Rodriguez, J. Rodriguez, G. Demazeau. J. Phys.: Condens. Matter 23, 415501 (2011).
- [29] C. Zener. Phys. Rev. 82, 403 (1951).
- [30] P.W. Anderson, H. Hasegawa. Phys. Rev. 100, 675 (1955).
- [31] P.G. de Gennes. Phys. Rev. 118, 141 (1960).
- [32] E. Müller-Hartmann, E. Dagotto. Phys. Rev. B 54, R6819 (1996).
- [33] R. Micnas, J. Ranninger, S. Robaszkiewicz. Rev. Mod. Phys. 62, 113 (1990).
- [34] H. Sun, M. Huo, X. Hu J. Li, Z. Liu, Y. Han, L. Tang, Z. Mao, P. Yang, B. Wang, J. Cheng, D.-X. Yao, G.-M. Zhang, M. Wang, Nature 621, 493 (2023).
- [35] J. Ruppen, J. Teyssier, O.E. Peil, S. Catalano, M. Gibert, J. Mravlje, J. Triscone, A. Georges, D. van der Marel. Phys. Rev. B 92, 155145 (2015).
- [36] D. Preziosi, L. Lopez-Mir, X. Li, T. Cornelissen, J.H. Lee, F. Trier, K. Bouzehouane, S. Valencia, A. Gloter, A. Barthelemy, M. Bibes. Nano Lett. 18, 2226 (2018).
- [37] K.W. Post, A.S. McLeod, M. Hepting, M. Bluschke, Y. Wang, G. Cristiani, G. Logvenov, A. Charnukha, G.X. Ni, P. Radhakrishnan, M. Minola, A. Pasupathy, A.V. Boris, E. Benckiser, K.A. Dahmen, E.W. Carlson, B. Keimer, D.N. Basov. Nat. Phys. 14, 1056 (2018).
- [38] J.H. Lee, F. Trier, T. Cornelissen, D. Preziosi, K. Bouze-houane, S. Fusil, S. Valencia, M. Bibes. Nano Letters 19, 7801 (2019).
- [39] J. del Valle, R. Rocco, C. Dominguez, J. Fowlie, S. Gariglio, M.J. Rozenberg, J.-M. Triscone. Phys. Rev. B 104, 165141 (2021)
- [40] D. Khomskii. Physica B: Condensed Matter 280, 325 (2000),
- [41] Y.M. Klein, M. Kozlowski, A. Linden, P. Lacorre, M. Medarde. Crystal Growth and Design **21**, 4230 (2021).
- [42] B. Li, D. Louca, S. Yano, L.G. Marshall, J. Zhou, J.B. Goodenough. Adv. Electron. Mater. 2, 1500261 (2015),
- [43] R. Scherwitz, S. Gariglio, M. Gabay, P. Zubko, M. Gibert, J.-M. Triscone. Phys. Rev. Lett. 106, 246403 (2011).
- [44] H. Guo, Z.W. Li, L. Zhao, Z. Hu, C.F. Chang, C.Y. Kuo, W. Schmidt, A. Piovano, T.W. Pi, O. Sobolev, D.I. Khomskii, L.H. Tjeng, A.C. Komarek. Nat. Commun. 9, 43 (2018).
- [45] A. Subedi. SciPost Phys. 5, 020 (2018).
- [46] C. Liu, V.F.C. Humbert, T.M. Bretz-Sullivan, G. Wang, D. Hong, F. Wrobel, J. Zhang, J.D. Hoffman, J.E. Pearson, J.S. Jiang, C. Chang, A. Suslov, N. Mason, M.R. Norman, A. Bhattacharya. Nat. Commun. 11, 1402 (2020).
- [47] J.L. Garcia-Munoz, J. Rodriguez-Carvajal, P. Lacorre. Phys Rev B 50, 978 (1994).
- [48] J. Rodriguez-Carvajal, S. Rosenkranz, M. Medarde, P. Lacorre, M.T. Fernandez-Diaz, F. Fauth, V. Trounov. Phys. Rev. B 57, 456 (1998).
- [49] M.T. Fernandez-Diaz, J.A. Alonso, M.J. Martinez-Lope, M.T. Casais, J.L. Garcia-Munoz. Phys Rev B 64, 144417 (2001).

Редактор Т.Н. Василевская